

分割型一次元圧密試験装置による多層地盤の圧密に関する研究

広島大学 工学部	正	綱 干 寿 夫
五 洋 建 設	正	酒 井 哲 雄
萬 根 県	正	・佐々木 喬 夫
佐 賀 県	正	太 田 利 翔

§ 1. まえがき

実際の地盤は、均一なものはほとんど存在せず、深度とともに圧密特性が変化する場合などが多くない。このような地盤の設計方法として最も簡単な方法に換算層厚法があり、この方法では圧密特性の異なる粘土層の層厚に關係なく同一の圧密現象を示す。実際には層厚によって異なる圧密現象を示すから、Terzaghiの理論の差分解析などを行なう必要がある。また、圧密現象を考える上で重要な問題は二次圧密であり、この二次圧密現象を考慮した理論による設計は圧密定数の決定に関する困難さなどから一般には行なわれていない。

そこで、本研究は、多層地盤について圧密試験を行ない、二次圧密現象を考慮した Garlanger の理論との比較を行ない、粘土層内部の圧密現象を調べた。

§ 2. 実験方法および結果

厚さ 2 cm の標準圧密試験の試料を 5 個直列につづき、空気圧を用いて同時載荷することにより、厚さ 10 cm、片面排水の条件の一次元圧密を図 1 に示す二層地盤について行なった。(図 2)

試料は攪乱した広島粘土、福山粘土を 40 kN/m² で予圧密し、これから切り出して用いている。また載荷は 80 kN/m² で再圧密した上で開始し、80 ~ 160 kN/m² の間の圧密特性を調べている。したがって、荷重増加率は 1.0 である。測定は、各層ごとの沈下量および各層下端面の間隙水圧について行なった。

図 3 は、 $Z/H = 0.1, 0.5, 0.9$ での間隙水圧の消散過程と間隙水圧の消散終了時での沈下ひずみを 100% 圧密として圧密の進行過程を示したものである。各 Z/H で、間隙水圧の消散過程の方が沈下ひずみの進行より速くなり、排水面側でその程度が大きくなっている。これは、Terzaghi の圧密理論や三室の理論では説明できない現象である。

§ 3. Garlanger の圧密理論の差分解析との比較

差分解析に用いた圧密定数は、標準圧密試験装置を使用し、定荷重を長期間受けける圧密試験を行ない求めた。そ

表-1 圧密定数

粘土	a	b	c	t_1 (min)	e	e_{c}	P_c (kN/m ²)
広島	0.027	0.131	0.007	15	1.443	1.430	110.9
福山	0.023	0.154	0.008	60	1.511	1.504	98.2

の結果を示したのが表 1 である。

図 5 は、沈下ひずみ - 時間関係を示したものである。圧密の初期から中期にかけて実験値と計算値はほぼ一致しているが、終半部において両者の相違が大きくなっている。これは解析に用いた定数が実験値と異なっていたため、沈下量が一致していないのが原因と考えられる。

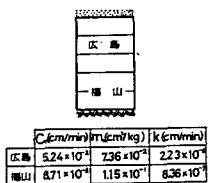


図-1 実験ケース

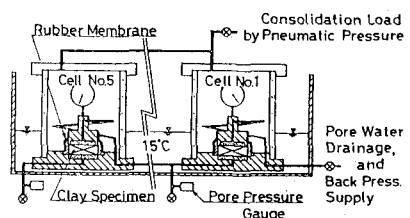


図-2 分割型一次元圧密試験装置図

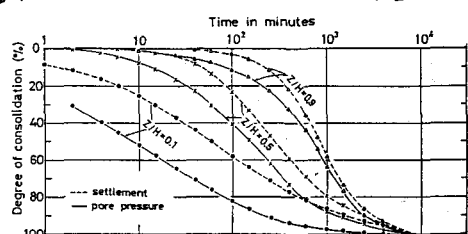


図-3 沈下ひずみおよび間隙水圧よりの圧密度の進行過程

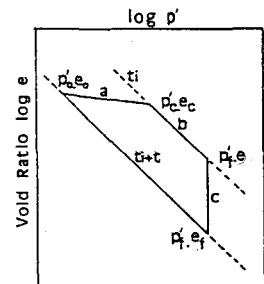


図-4 e ~ log P' 関係

図6は、間隙水圧の消散過程を示したものである。Garlangerの二次圧密理論は、Bjerrumの“instant compression”および“delayed compression”的概念に立脚しており荷重Pの載荷により排水面においては P_0 から P_c まで即座に移行し、内部は排水面からの距離により序々にdelayed compressionを伴なって進行する現象を表わしており、その結果圧密の初期から間隙水圧の消散が生じ、全般的に実験値とよく一致している。

図7は、縦軸に沈下ひずみに関する3圧密度 U_e （間隙水圧消散時の沈下ひずみを100%圧密とした）、横軸に有効応力に関する圧密度 $U_{p'}$ をとり、実験値、Terzaghi理論、三塙の理論、Garlangerの理論の差分解析値を示したものである。 $U_{p'}$ =50%の時点をみると、 $e \sim p'$ が直線関係にあるTerzaghiの線形弾性理論では $U_{p'}$ と U_e が等しくなり、 $e \sim \log p'$ が直線関係にある三塙の非線形弾性理論では $U_{p'}$ の方が U_e より遅くなっている。実験値は、 $U_{p'}$ の方が U_e より遅くなっている。上の両理論とは異なり傾向を示していないがGarlanger理論の差分解析では実験値とほぼ等しくなっている。この相違は、Garlanger理論においては、粘土の圧密過程にinstant lineの存在を示し、排水面からの距離による3層内部の圧密現象を異なった経路で表現しているにもかかわらず、Terzaghi理論および三塙の理論においては常に一本の経路で応力～ひずみ関係を表わすために生ずると考えられる。この傾向は、標準圧密試験のような層厚が薄いものは顕著に表われる。粘土層内部についてみると、排水面側において $U_{p'}$ が U_e よりも遅く進行している。しかし、非排水面側において $U_{p'}$ と U_e の進行速度の差は小さい。これは、非排水面側ほど一次圧密中に生じる二次圧密沈下量が大きくなり、 $U_{p'}$ と U_e の進行速度の差が小さくなると考えられる。

§4.まとめ

実験値では、間隙水圧の消散終了時を100%圧密とした場合の沈下ひずみに関する3圧密度 U_e と有効応力に関する圧密度 $U_{p'}$ を比較すると $U_{p'}$ の方が速く進行し、通常の圧密理論とは異なる結果となるが、Bjerrumの“instant compression” “delayed compression”的概念を導入したGarlangerの理論によれば、実験結果を良く説明されることがわかった。

〈参考文献〉

- 1) Garlanger J.E (1972): The consolidation of soils exhibiting creep under constant effective stress, Geotechnique 22, No. 1, pp 71~78
- 2) 三塙正人 (1963) : 軟弱粘土の圧密(新圧密理論とその応用), 鹿島研究所出版会

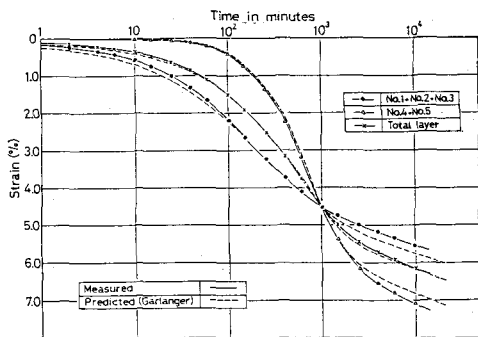


図-5 沈下ひずみ-時間関係

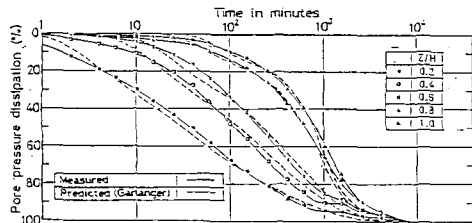


図-6 間隙水圧消散過程

Degree of consolidation for pore pressure

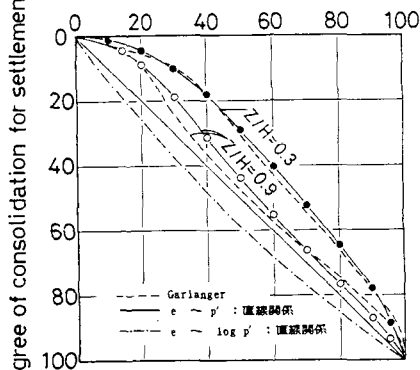


図-7 U_e - $U_{p'}$ 関係